



Revista de la Asociación Latinoamericana  
de Control de Calidad, Patología y  
Recuperación de la Construcción

E-ISSN: 2007-6835

revistaalconpat@gmail.com

Asociación Latinoamericana de Control  
de Calidad, Patología y Recuperación de

Gómez, J. L.; Fernández Saiz, M. del C.; Papalardo, L.  
Comportamiento de las estructuras de madera construidas en la Estancia Jesuítica de  
Santa Catalina en el siglo XVII.

Revista de la Asociación Latinoamericana de Control de Calidad, Patología y  
Recuperación de la Construcción, vol. 4, núm. 2, mayo-agosto, 2014, pp. 133-143  
Asociación Latinoamericana de Control de Calidad, Patología y Recuperación de la  
Construcción, A. C.  
Mérida, México

Disponible en: <http://www.redalyc.org/articulo.oa?id=427639595005>

- ▶ Cómo citar el artículo
- ▶ Número completo
- ▶ Más información del artículo
- ▶ Página de la revista en redalyc.org

redalyc.org

Sistema de Información Científica

Red de Revistas Científicas de América Latina, el Caribe, España y Portugal  
Proyecto académico sin fines de lucro, desarrollado bajo la iniciativa de acceso abierto



# Revista ALCONPAT

[http://www.mda.cinvestav.mx/revista\\_alconpat](http://www.mda.cinvestav.mx/revista_alconpat)

eISSN 2007-6835



Revista de la Asociación Latinoamericana de Control de Calidad, Patología y Recuperación de la Construcción

## Comportamiento de las estructuras de madera construidas en la Estancia Jesuítica de Santa Catalina en el siglo XVII.

J. L. Gómez<sup>1</sup>, M. del C. Fernández Saiz<sup>2</sup>, L. Papalardo<sup>3</sup>.

<sup>1,2,3</sup> Taller de Investigación de Diseño Estructural, TIDE, Facultad de Arquitectura, Urbanismo y Diseño, Universidad Nacional de Córdoba, <sup>2</sup> e-mail: [mfernandezsaiz@yahoo.com.ar](mailto:mfernandezsaiz@yahoo.com.ar)

### Información del artículo

Artículo recibido el 25 de marzo de 2014, revisado bajo las políticas de publicación de la Revista ALCONPAT y aceptado el 13 de mayo de 2014. Cualquier discusión, incluyendo la réplica de los autores, se publicará en el primer número del año 2015 siempre y cuando la información se reciba antes del cierre del tercer número del año 2014.

© 2014 ALCONPAT Internacional

### Información Legal

Revista ALCONPAT, Año 4, No. 2, Mayo – Agosto 2014, es una publicación cuatrimestral de la Asociación Latinoamericana de Control de Calidad, Patología y Recuperación de la Construcción, Internacional, A.C., Av. Zamá N°. 295 entre 61 y 63 Fraccionamiento Yucalpetén, Mérida, Yucatán, México, C.P. 97248, Tel. 5219997385893 , [alcompat.int@gmail.com](mailto:alcompat.int@gmail.com), Página Web: [www.mda.cinvestav.mx/alcompat/revista](http://www.mda.cinvestav.mx/alcompat/revista). Editor responsable: Dr. Pedro Castro Borges. Reserva de derechos al uso exclusivo No.04-2013-01171730300-203, eISSN 2007-6835, ambos otorgados por el Instituto Nacional de Derecho de Autor. Responsable de la última actualización de este número, Unidad de Informática ALCONPAT, Ing. Elizabeth Sabido Maldonado, Av. Zamá N°. 295 entre 61 y 63 Fraccionamiento Yucalpetén, Mérida Yucatán, México, C.P. 97248, fecha de última modificación: 30 de agosto de 2014.

Las opiniones expresadas por los autores no necesariamente reflejan la postura del editor. Queda totalmente prohibida la reproducción total o parcial de los contenidos e imágenes de la publicación sin previa autorización de la ALCONPAT Internacional A.C.

## RESUMEN

Este trabajo presenta el estudio de tipologías estructurales de madera utilizadas por los jesuitas en las construcciones de la Estancia de Santa Catalina, provincia de Córdoba. Se realizó la identificación macroscópica y microscópica de la madera utilizada en vigas y columnas, en la Universidad Nacional de Santiago del Estero. Se realizaron ensayos para conocer las características físicas y mecánicas en nuestro Laboratorio, y la verificación de resistencia y deformabilidad según la norma brasiliense BR7190, para conocer el grado de seguridad de la estructura. Se estudiaron las estructuras reticuladas, relevando manifestaciones patológicas en los elementos estructurales y realizando un diagnóstico que permitió estimar el grado de seguridad de los mismos.

En las conclusiones del trabajo, se destaca la durabilidad de la madera de más de 360 años de antigüedad. Se recomiendan actuaciones para la recuperación de las piezas deterioradas, y el mantenimiento de estas construcciones declaradas Patrimonio Cultural de la Humanidad.

**Palabras clave:** Estructuras de madera, patrimonio, durabilidad.

## ABSTRACT

This paper presents a study of wooden structural typologies used by the Jesuits in the "Estancia de Santa Catalina", Córdoba Province. The wood used in beams and columns was characterized at microscopic and macroscopic levels. Tests were carried out to determine the physical and mechanical characteristics; the soundness of the structure was evaluated by following the Brazilian standard BR7190 for the verification of the strength and deformability. We studied the reticulated structures, showing the pathological manifestations in the structural elements and making a diagnosis that allowed the estimation of their degree of safety. The study highlights the outstanding durability of the wood older than 360 years; it also recommends proceedings for the recovery of damaged parts and maintenance of these constructions that have been declared common heritage of mankind.

**Keywords:** Wooden Structures, patrimony, heritage durability.

---

Autor de contacto: M. del C. Fernández Saiz

## 1. INTRODUCCIÓN

En el marco de las investigaciones realizadas en el Taller de Investigación de Diseño Estructural de la Facultad de Arquitectura de la UNC, se presenta este trabajo con el estudio de las tipologías estructurales de madera utilizadas por los jesuitas en la construcción de la Estancia Santa Catalina, provincia de Córdoba, declarada Patrimonio de la Humanidad en al año 2000. Esta Estancia, ubicada a 20 km de la ciudad de Jesús María, comprende entre otros, la iglesia, y la residencia con sus tres patios, ver Figura 1. En las áreas destinadas al servicio y las habitaciones, la construcción, característica de la época, consiste en gruesos muros de mampostería sobre los que apoyan estructuras de madera que soportan el paquete constructivo compuesto por bovedillas, mortero de asiento y tejas. Las tipologías empleadas son columnas, vigas inclinadas y vigas reticuladas. Para su análisis, se ha realizado primero la tipificación de la madera, y luego los ensayos para conocer sus características físico-mecánicas. Una vez investigada la conformación estructural, se resolvieron las estructuras con modernos procedimientos de análisis y se procedió a la verificación seccional siguiendo los lineamientos de la Norma brasilera BR 7190, determinando su grado de seguridad.

Del estudio del comportamiento estructural de estas tipologías de más de 360 años de antigüedad, se redactan recomendaciones de actuación orientadas a su conservación y mantenimiento.



Figura 1. Vista aérea de la estancia. Ubicación de la galería Patio de los esclavos

## 2. INVESTIGACIÓN DE LA CONFORMACIÓN DE LA ESTRUCTURA DE CUBIERTA DE LA GALERÍA DEL PATIO DE LOS ESCLAVOS



Figura 2. Vistas galería Patio de los esclavos

La investigación tuvo por objeto reconocer el sistema estructural utilizado en la conformación de la cubierta de la galería del patio de los esclavos (también denominado patio de servicio), como se indica en la Figuras 1 y 2.

## 2.1 Determinación de la conformación de cubierta, y análisis de cargas

Se identificaron los materiales que conforman la cubierta y sus correspondientes espesores: teja muslera ( $100 \text{ kg/m}^2$ ), mortero de cemento ( $63 \text{ kg/m}^2$ ), tejuela de 3cm espesor ( $42 \text{ kg/m}^2$ ), alfajías de  $8,5 \times 1,5 \text{ cm}$  ( $35.10 \text{ kg/m}^2$ ), ver Figura 3.

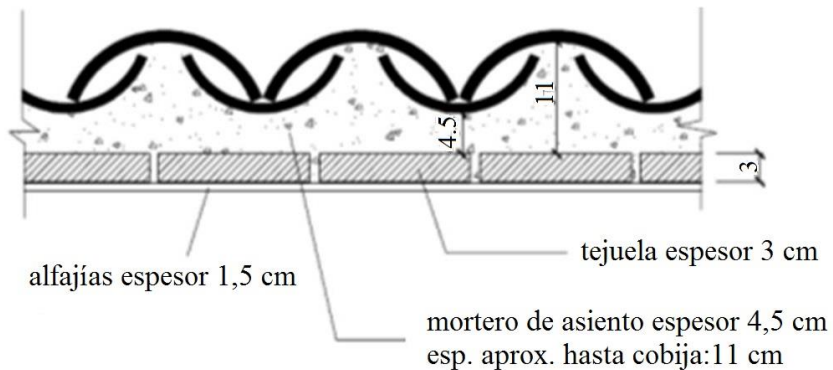


Figura 3. Detalle de cubierta

Se realizó el análisis de cargas permanentes  $g = 209.80 \text{ kg/m}^2$ , y variables,  $p = 23 \text{ kg/m}^2$ . Se determinó la carga sobre cabios: de cubierta por área de influencia (ver esquema estructural de Figura 4) más peso propio de los cabios de  $12.5 \times 15 \text{ cm}$ . Para el cálculo de solicitudes se mayoraron las cargas con la combinación (1) según Norma brasileña BR 7190.

$$q_c = 1.3 \times 172.10 + 1.4 \times 16 = 246.13 \text{ kg/m} \quad (1)$$

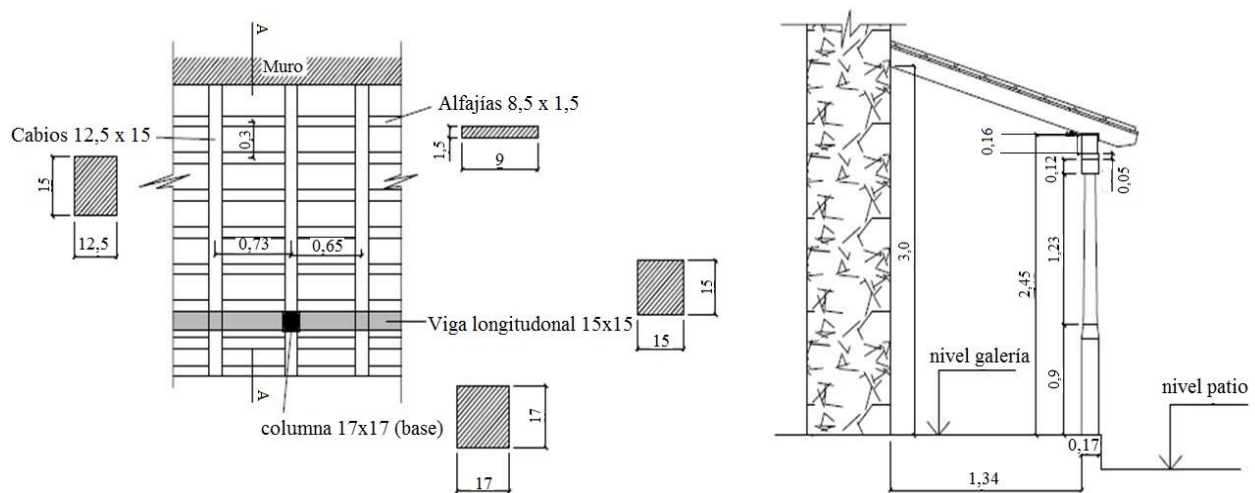


Figura 4. Planta esquemática del sector. Corte A-A

## **2.2 Determinación de las características físicas y mecánicas de la madera de los cabios: Aspidosperma quebracho-blanco (*Apocinaceae*)**

Para identificar la especie de madera de los cabios, se realizó el estudio macro y microscópico de las muestras enviadas al Laboratorio de Dendrología y Xilología, INSIMA, Fac. Ciencias Forestales, U. N. de Santiago del Estero. Los resultados del Laboratorio certificaron que las piezas correspondían a la especie: quebracho blanco.

Posteriormente, se realizaron ensayos para la determinación de las características físicas y mecánicas en el laboratorio del Taller de Investigación y Diseño Estructural de la Facultad de Arquitectura: densidad = 1015 kg/m<sup>3</sup>; resistencia característica,  $f_{c0k} = 454 \text{ kg/cm}^2$ ; resistencia de cálculo,  $f_{c0d} = 145.28 \text{ kg/cm}^2$ ; módulo de elasticidad medio,  $E_m = 118322 \text{ kg/cm}^2$ ; módulo de elasticidad efectivo (para verificación de la deformación teniendo en cuenta la fluencia lenta) (2):

$$E_{ef} = kmod^l \times kmod^2 \times kmod^3 \times Em = 0.6 \times 0.8 \times 0.8 \times 118322 = 45436 \text{ kg/cm}^2 \quad (2)$$

### **2.3 Verificación seccional de los cabios**

Para los cabios de 12.5 x 15 cm de sección y una luz entre apoyos de 2.02m, se obtienen el momento máximo:  $M_{\max} = 125.54 \text{ kgm}$ , para la verificación de la resistencia seccional (3).

$$\sigma = \frac{12554}{468.75} = 26.78 \text{ kg/cm}^2 < f_{c0d} = 145.28 \text{ kg/cm}^2 \quad \text{VERIFICA} \quad (3)$$

Con la combinación de cargas (4) se calcula la flecha máxima para evaluar el estado límite de deformación (5).

$$q_c = 1 \times 172.10 + 0.2 \times 16 = 175.33 \text{ kg/m} \quad (4)$$

$$\alpha = \frac{5}{384} \times \frac{1.753 \times 202^4}{45436 \times 3515.63} = 0.23 \text{ cm} < \frac{202}{250} = 0.80 \text{ cm} \quad (5)$$

## **2.4 Determinación de las características físicas y mecánicas de la madera de columnas: Algarrobo *Prosopis alba* (*Mimosaceae*)**

Se procedió de igual modo que con los cabios para identificar la especie de madera de las columnas, resultando éstas de madera de algarrobo.

Se realizaron ensayos en laboratorio para la determinación de las características físicas y mecánicas: densidad = 690 kg/m<sup>3</sup>; resistencia característica,  $f_{c0k} = 379 \text{ kg/cm}^2$ ; resistencia de cálculo,  $f_{c0d} = 103.95 \text{ kg/cm}^2$ ; módulo de elasticidad medio,  $E_m = 63667 \text{ kg/cm}^2$ , módulo de elasticidad efectivo,  $E_{ef} = 24448 \text{ kg/cm}^2$ .

### **2.5 Verificación seccional de columna**

Con los datos de la geometría graficados en la Figura 5 y los datos del material, se realiza la verificación seccional para un esfuerzo normal de compresión de  $N = 1374 \text{ kg}$ , y una esbeltez de  $\lambda = 66$ , (7) - (9).

$$F_E = \frac{\pi^2 \times E_{c0} \times I}{L^2} \quad F_E = \frac{3.1416^2 \times 24448 \times 2380}{250^2} = 9188 \text{ kg} \quad (7)$$

$$M_d = N_d \times e_d = 1310 \times 0.99 = 1297 \text{ kg cm} \quad (8)$$

$$\sigma_M = \frac{1297}{366} = 3.54 \text{ kg/cm}^2 \quad \sigma_N = \frac{1374}{13 \times 13} = 8.13 \text{ kg/cm}^2 \quad (9)$$

$$\frac{\sigma_{Nd}}{f_{cd}} + \frac{\sigma_{Md}}{f_{cd}} \leq 1 \quad \frac{8.13}{103.9} + \frac{3.54}{103.9} = 0.11 \ll 1 \text{ VERIFICA} \quad (10)$$

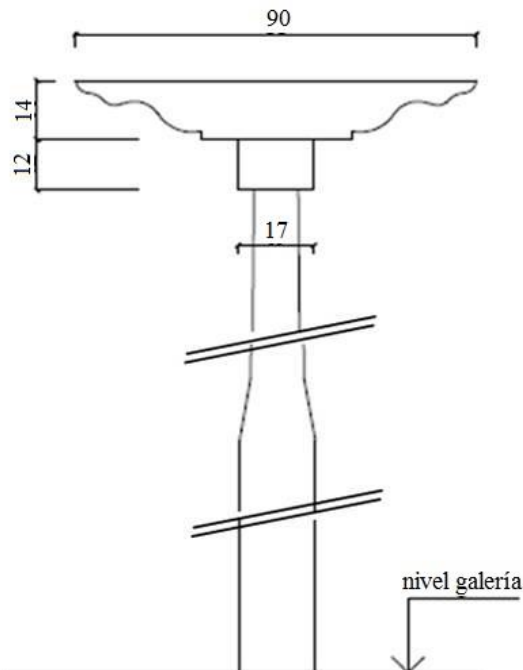


Figura 5. Detalle de columna

### 3. INVESTIGACIÓN ESTRUCTURAL DE LAS CABRIADAS DE MADERA EN CUBIERTA DE LAS HABITACIONES DEL PATIO DE LAS HIGUERAS

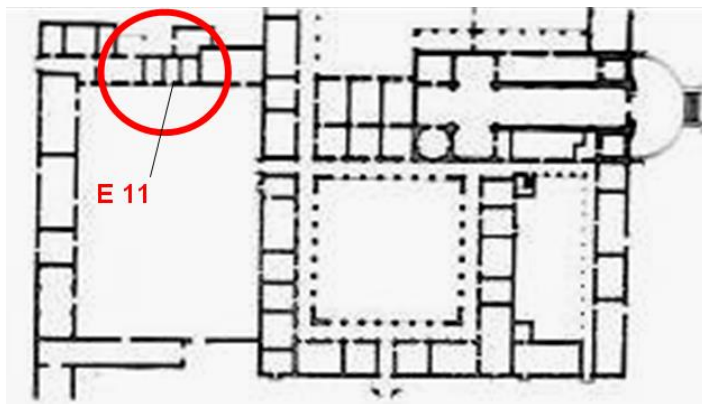


Figura 6. Habitaciones del Patio de las higueras

La estructura que se verificó corresponde a la habitación E11 ubicada en el Patio de las Higueras, como se indica en la Figura 6, y en la cual se observaron manifestaciones patológicas. Primero se procedió a relevar in situ la sala en cuestión, tanto en sus dimensiones en planta, como también la organización estructural del plano superior. Para el relevamiento en alzado se utilizaron además los datos suministrados por el equipo de topógrafos, ver Figura 7.

Esta estructura, característica de la época, está constituida por una cabriada central de madera azuelada con pares y nudillos, que se apoya sobre muros de un ancho aproximado de 0,90 mts.

Se completa el mecanismo con cabios transversales colocados cada 20 cm, apoyados sobre la cabriada de madera y en los muros extremos. Éstos reciben el paquete constructivo compuesto por las bovedillas, el mortero de asiento y las tejas. Las uniones de las diferentes barras se materializan por encastre, sin presencia de clavos u otro conector, como se aprecia en la Figura 8.

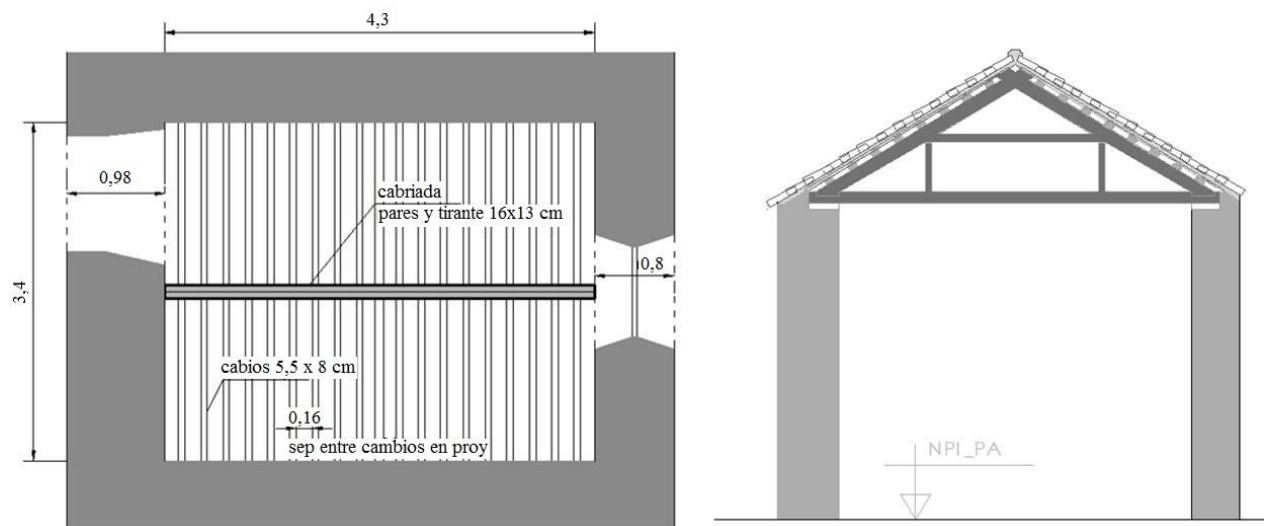


Figura 7. Organización estructural de cubierta. Corte transversal

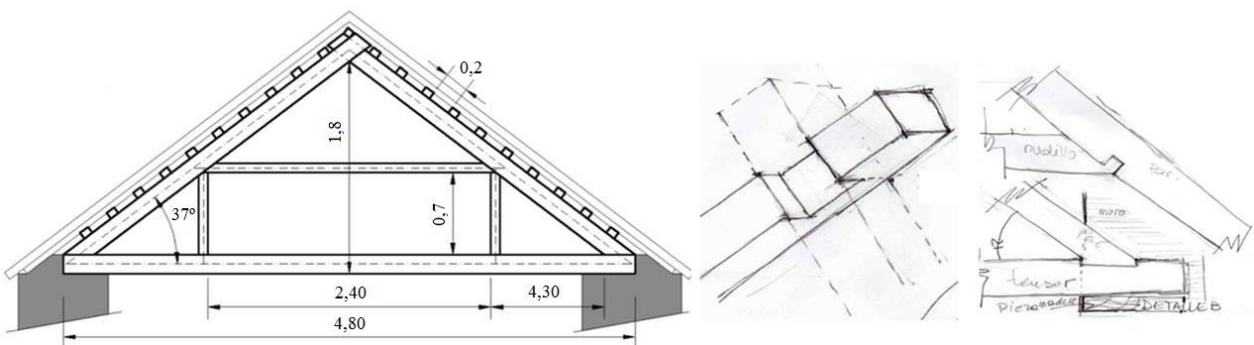


Figura 8. Corte cabriada. Detalle de unión entre pares y entre par y nudillo

Durante las tareas de relevamiento desarrolladas, se observaron importantes manifestaciones patológicas, indicadas en la Figuras 9.



Figura 9. Cabriada. Manifestaciones patológicas relevadas en pares y tirante, y en apoyos

### 3.1 Determinación de las características físicas y mecánicas de la madera de la cabriada: *Prosopis sp* (Algarrobo)

Del mismo modo que en los casos anteriores, se realizó el estudio macro y microscópico de una muestra para la identificación de la madera, correspondiendo a la especie: *Prosopis sp.* (ALGARROBO) con presencia de galería de insectos, ver la Figura 10.

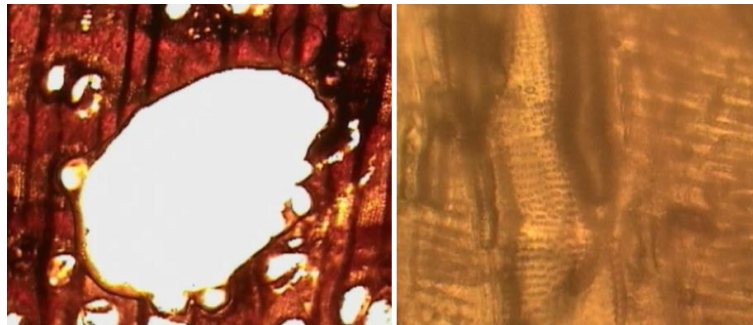


Figura 10. Muestra. Secciones transversal y tangencial. Estado de la madera de la estructura

Se realizaron ensayos en el Laboratorio y las características físico-mecánicas de la madera obtenidas son: densidad =  $690 \text{ kg/m}^3$ ; resistencia característica:  $f_{c0k} = 379 \text{ kg/cm}^2$ ; resistencia de cálculo:  $f_{cd} = 103.95 \text{ kg/cm}^2$ ; módulo de elasticidad medio,  $E_m = 63667 \text{ kg/cm}^2$ ; módulo de elasticidad efectivo,  $E_{ef} = 24448.128 \text{ kg/cm}^2$ .

Tabla 1. Propiedades de las barras

Nº de barra	b (cm)	h (cm)	MATERIAL			
				Peso Específico (kg/m <sup>3</sup> )	E <sub>m</sub> (kg/m <sup>3</sup> )	E <sub>ef</sub> (kg/m <sup>3</sup> )
1 (mampostería)	98	60	mampostería	1300	1600	-----
6 (mampostería)	80	60				
2 - 3 - 4 - 5 (pares)	13.5	16				
7 - 8 - 9 (nudillo)	15	7.5				
10 - 11 (montantes)	15	7.5	algarrobo	690	63667	24448.1
12 - 13 - 14 (tirante)	13.5	16				

### 3.2 Características de la Cubierta de techo sobre la cabriada y análisis de cargas

La imposibilidad de realizar un análisis invasivo, ha obstaculizado la determinación fehaciente de la constitución material de la cubierta, en los aspectos que no estaban a la vista. Se ha supuesto, entonces, su conformación y las características físicas y mecánicas de los materiales componentes, en base a antecedentes de estudios que se realizaron en otras construcciones similares contemporáneas a la estancia, como la Estancia de Alta Gracia, y el Museo de Jesús María. En base a esos estudios y a los relevamientos de campo y planialtimétrico, se determinaron los espesores de cada uno de los materiales constitutivos, tarea que permitió cuantificar la carga por metro cuadrado. La cubierta es de similares características que la de la galería del Patio de los Esclavos: conformada por bovedillas de 18 cm x 28 cm x 3 cm de alto, asentadas sobre los cabios, y sobre ellos se encuentran colocadas tejas españolas con una argamasa de 4,5 cm de espesor, utilizada como mortero de asiento.

Una vez estudiada la conformación y geometría de la cubierta, se realiza el análisis de cargas sobre la misma. Las cargas sobre la cabriada resultan: cargas permanentes  $g = 382.48 \text{ kg/m}$  y cargas variables  $p = 40.48 \text{ kg/m}$ . Para el cálculo de las solicitudes y de la deformabilidad de la estructura, con los datos ya obtenidos se utilizó el software Strap, ver Tabla 1 y Figura 11.

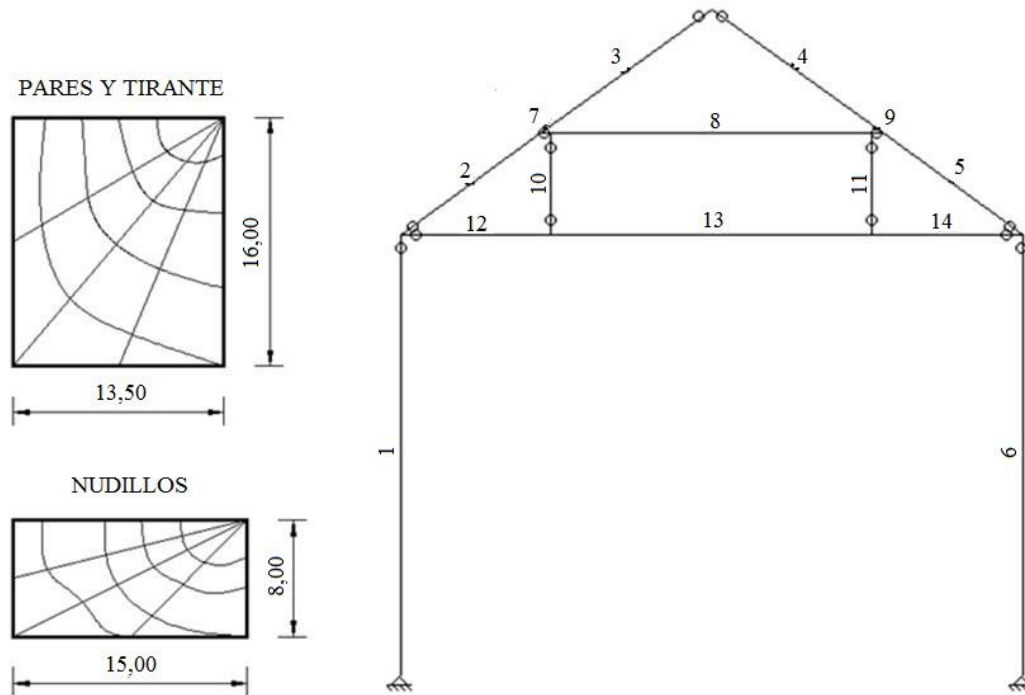


Figura 11. Secciones de barras. Geometría de la cabriada

### 3.3 Combinaciones de cargas (según lo establecen las Normas Brasileras BR7190)

Para cálculo de las solicitudes y verificación de la resistencia se utilizó la combinación (11) y para verificar la deformabilidad se adoptó la combinación (12).

$$q_1 = 1.3 g + 1.4 p = 1.3 \times 382.48 \text{ kg/m} + 1.4 \times 40.48 \text{ kg/m} = 553.89 \text{ kg/m} \quad (11)$$

$$q_2 = 1 g + 0.2 p = 1 \times 382.48 \text{ kg/m} + 0.2 \times 40.48 \text{ kg/m} = 390.57 \text{ kg/m} \quad (12)$$

### 3.4 Resultados obtenidos con software Strap (Figuras 12 y 13, y Tabla 2)

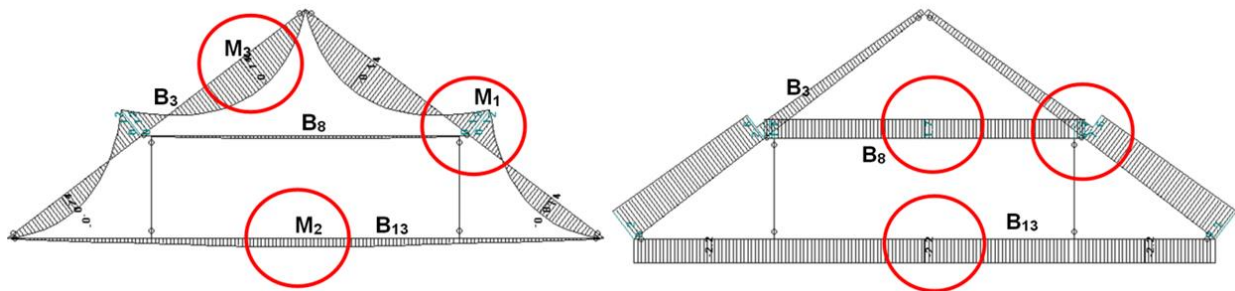


Figura 12. Diagramas de momentos flectores y de esfuerzos normales

Tabla 2. Máximas solicitudes en barras

Nº de barra	Denominación	Momento Flector	Esfuerzo de Tracción	Esfuerzo de Compresión
13	tirante	3200 kgcm	2183 kg	-----
8	nudillo	1100 kgcm	-----	1700 kg
3	pares	13600 kgcm	-----	838 kg

### 3.5 Verificación seccional de los pares - barra 3

La esbeltez es  $\lambda = 10.94 < 40$ , entonces se verifica como pieza corta (13).

$$\sigma = \frac{838}{216} + \frac{13600}{576} = 28.18 \text{ kg/cm}^2 < 103.95 \text{ kg/cm}^2 \text{ VERIFICA} \quad (13)$$

### 3.6 Verificación seccional del tirante - barra 13 (14)

$$\sigma = \frac{2183}{216} + \frac{3200}{576} = 15.67 \text{ kg/cm}^2 < 103.95 \text{ kg/cm}^2 \text{ VERIFICA} \quad (14)$$

### 3.7 Verificación seccional del nudillo - barra 8

Como la esbeltez de la pieza es  $\lambda = 114 > 80$ , se verifica como pieza esbelta (15) - (22).

Según las NBR 7190, se calcula la excentricidad accidental mínima y excentricidad inicial (15); la carga crítica (16); la excentricidad complementaria debido a la fluencia lenta de la madera (17) - (18), y la excentricidad efectiva de primer orden (19):

$$e_a = \frac{246}{300} = 0.82 \text{ cm} \quad e_i = \frac{1100}{1700} = 0.65 \text{ cm} \quad e_{ig} = \frac{M_{gd}}{N_{gd}} = \frac{1100}{1630} = 0.674 \text{ cm} \quad (15)$$

$$F_E = \frac{\pi^2 \times E_{c0} \times I}{L^2} \quad F_E = \frac{3.1416^2 \times 24448 \times 527.34}{246^2} = 2102 \text{ kg} \quad (16)$$

$$e_c = (e_{ig} + e_a) \left\{ \text{Exp} \left[ \frac{\Phi [N_{gk} + (\Psi_1 + \Psi_2)N_{qk}]}{F_E - [N_{gk} + (\Psi_1 + \Psi_2)N_{qk}]} \right] - 1 \right\} \quad (17)$$

$$e_c = (0.674 + 0.82) \left\{ 2.71 \left[ \frac{0.8 [1250 + (0.3 + 0.2) 70]}{2102 - [1250 + (0.3 + 0.2) 70]} \right] - 1 \right\} = 3.752 \text{ cm} \quad (18)$$

$$e_{lef} = e_i + e_a + e_c = 0.65 + 0.82 + 3.75 = 5.22 \text{ cm} \quad (19)$$

$$M_d = N_d \times e_{lef} \left( \frac{F_E}{F_E - N_d} \right) \quad M_d = N_d \times e_{lef} \left( \frac{2102}{2102 - 1700} \right) = 46400 \text{ kgcm} \quad (20)$$

$$\sigma_M = \frac{46400}{140.6} = 330 \text{ kg/cm}^2 \quad \sigma_N = \frac{1700}{112.5} = 15.11 \text{ kg/cm}^2 \quad (21)$$

$$\frac{\sigma_{Nd}}{f_{cod}} + \frac{\sigma_{Md}}{f_{cod}} \leq I \quad \frac{15.11}{103.9} + \frac{330}{103.9} = 3.33 \gg I \quad \text{NO VERIFICA} \quad (22)$$

### 3.8 Verificación del estado límite de deformación

La flecha máxima de cálculo obtenida de Strap (Figura 13):  $\alpha = 0.303 \text{ cm}$  es < que  $1/250 = 0.96 \text{ cm}$ . Dada la irregularidad del tensor, la medición del descenso realizado en obra arrojó un valor aproximado de 1 cm. Surge entonces que la flecha máxima de cálculo  $\alpha : 0.303 \text{ cm} <$  flecha máxima relevada  $f = 1 \text{ cm}$ .

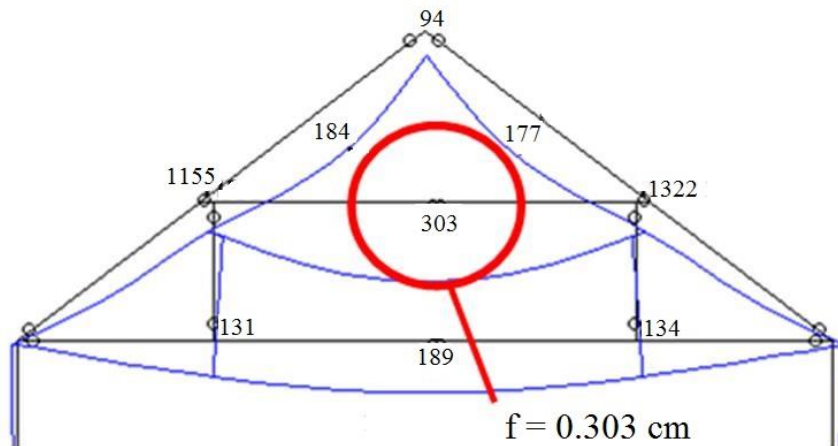


Figura 13. Descensos Máximos

## 4. CONCLUSIONES

Las deformaciones detectadas en la obra superan en algunos casos las consideradas admisibles; eso se puede atribuir a una disminución de la sección neta de las barras por la formación de galerías producidas por insectos, detectadas en el estudio microscópico. La verificación de todos los elementos estructurales analizados en el presente trabajo se ha realizado considerando las secciones netas relevadas sin disminución por defectos en la madera, producidos a través de su vida útil.

En la cabriada analizada se puede observar que las tensiones de compresión en nudillo, considerando la estabilidad al pandeo son superiores a las resistencias de cálculo. Se sugiere entonces, como medida de seguridad, el agregado de una nueva barra que disminuya la longitud de pandeo del nudillo, pero conservando la pieza original.

Con respecto a las galerías de insectos, que debilitan la madera y facilitan su putrefacción, se propone en primer lugar realizar las reparaciones necesarias para restituir la sección original de las piezas de madera. Se aconsejan también acciones para impedir el aumento de contenido de humedad de la madera, y luego aplicar insecticidas líquidos en los muros en lugares donde estén en contacto con las vigas, y luego realizar el tratamiento de la madera original utilizando un insecticida fungicida específico.

Como conclusión del trabajo se puede considerar que en general el comportamiento de la estructura ha sido satisfactorio sobre todo considerando una antigüedad cercana a los 360 años y una marcada falta de mantenimiento en períodos prolongados.

## 5. AGRADECIMIENTOS

Agradecimiento especial al Consejo de Administración de la Estancia Jesuítica Santa Catalina, en la persona de su administrador, Arq. Daniel M. de la Torre.

## 6. BIBLIOGRAFÍA

ASSOCIAÇÃO BRASILEIRA DE NORMAS TÉCNICAS - NBR 7190, (1997), “*Projeto de estruturas de madeira*”. (Río de Janeiro).

Gomez J. L. (2000), “*Estructuras de madera*” (Edit. Ingreso, Córdoba).

Argüelles Alvarez R.; Arriaga Martitegui F., “*Estructuras de madera*” - *Diseño y cálculo*.